

東京工業大学正員 杉本博之

まえがき 構造物の設計法は、現在の許容応力度設計法から荷重係数設計法、あるいは限界状態設計法に漸次移るであろうことはすでに指摘されている。また、そのような設計法に基づいて最適設計に関する研究がかなり発表されている。

線形計画法の完成により、上界定理による塑性設計法（仮想変形法等）が飛躍し、多くの問題に適用して成功している。しかししながら、対象とする構造物の大型で複雑になるとほど、考慮すべき崩壊構造の数が多くなり、下界定理による塑性設計法によらずを得なくなる。本論文は、方柱形ラーメン橋（図-1）を例題として、下界定理による最適設計法を適用し、得られた断面よりなる構造物の余剰耐荷力の程度を求め、最適設計における最適性とともに発表し、より大型の構造物の最適塑性設計のための基礎としようとするものである。断面の設計において、軸力の全塑性モーメントに対する影響は考慮している。鋼材はSM41であり、鋼構造物塑性設計基準（昭和42年8月、以下塑規とする。）を一部参考としている。

方柱形ラーメン橋 設計の対象としている構造物は、図-1に示す支間14mの方柱形ラーメン橋である。図のZ₁、Z₂、fを変化させ、断面は、上部構造で7部材、橋脚で、右図の場合3部材考え方（左右対称としている。）、さらに、1・ス・7部材は等断面である等の条件をつけて、断面を数個（当部材総数）のアーチ形に分け、これらのアーチ形を適当に変えて数値計算を行なっている。

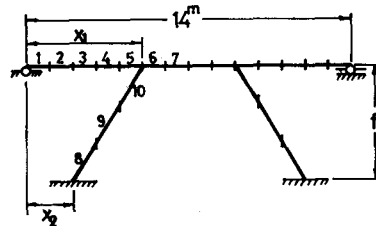
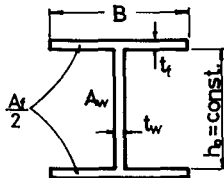


図-1

橋脚は、曲げモーメントと同時に、大きな軸方向圧縮力を受けることが予想されるが、座屈は起らないと仮定している。

断面設計 断面形状は、図-2に示すH形断面とする。腹板高さは、上部構造、橋脚においてそれぞれ一定とし、あらかじめ与えられるものとする。板厚t_w、t_fは塑規を参考にして次式で計算されるものとする。単位はcmである。



$$\begin{aligned} t_f &= \max[B/17, 0.8] \\ t_w &= \max[(h_0 + z t_f)/43, 0.8] = h_0/43 \end{aligned} \quad \} \quad (1)$$

ただし、 $h_0 \geq 34.4\text{ cm}$ 。この結果、設計変数はフランジ幅Bのみとなる。

図-2

このような断面において、軸力を考慮した全塑性モーメントは、近似的に次式で与えられる。

$$i) \frac{P}{P_y} \leq \frac{A_w}{A}; \quad M_{pc} = \left\{ 1 - \frac{(1 + A_f/A_w)^2}{1 + Z A_f/A_w} \cdot \left(\frac{P}{P_y} \right)^2 \right\} \cdot M_p \quad (2)$$

$$ii) \frac{P}{P_y} > \frac{A_w}{A}; \quad M_{pc} = \frac{z(1 + A_f/A_w)}{1 + Z A_f/A_w} \cdot \left(1 - \frac{P}{P_y} \right) \cdot M_p \quad (3)$$

ここで、 P_y ：降伏軸方向力 ($= \rho_y A, k_y$)、 ρ_y ：降伏応力度 ($= 2400\text{ kg/cm}^2$)、 A ：総断面積 (cm^2)、 A_f ：フランジ断面積 (cm^2)、 A_w ：腹板断面積 (cm^2)、 M_{pc} ：軸方向力を考慮した全塑性モーメント ($\text{kg}\cdot\text{cm}$)、 M_p ：全塑性モーメント ($\text{kg}\cdot\text{cm}$)

$$M_p = 0.50\rho_y \{ A + (h_0 + t_f) + 0.5 A_w h_0 \} \quad (4)$$

作用軸力P及く作用モーメントMのものとて、式(2)あるいは式(3)をクリティカルに満足するBは式(1)、(4)を式(2)、(3)に代入することにより、数種の高次方程式として得らうことができる。

数値計算 荷重は、節点死荷重として、上部構造節点1=8t、橋脚節点1=t_f、線荷重として上部構造節

点に 80t 載荷している。ラーメン橋には種類有り、タイプ A は、 $x_1 = 4\text{m}$, $x_2 = 0\text{m}$, $f = 4\text{m}$, 部材数 11 (左半分), タイプ B は、 $x_1 = f = 5\text{m}$, $x_2 = 2\text{m}$, 部材数 10 (左半分) である。 h_0 はすべて 50cm とした。

最適塑性設計の考え方は、まず、すでに得られている高次方程式を用いて、全(塑性)応力設計を行なう。収束の判定条件は、前回と今日の部材断面積の差が、前回の断面積の 0.1% 以内としている。次に、この設計に対して、個々のグループの断面積を 10cm^2 ずつ 80cm^2 まで増加させ、他のグループは、その条件下で全(塑性)応力設計を行ない、断面積の増減の傾向より最適性を判断した。

初期値を 3種類変えて、全(塑性)応力設計の収束の過程を示したのが図-3 (表の 6) であり、最適性の検討の結果を示したのが、図-4.a (表の 2), 図-4.b (表の 7) である。横軸は骨組の回数である。図-4.a のように、曲線が重なるものと、図-4.b のように、ほとんど直線的に増加するものがあり、後者の方が多い。全部材の断面積を同時に減少して実行可能解が得られることでできないとするとき、得られた結果が全応力設計 (又変数であれば、拘束曲線の交点) であることを考慮し、図-4.b のような傾向を示すものは、全応力設計の結果の最適となると思われる。

余剰耐荷力計算は、以上のようにして得られた構造設計用いた荷重よりさらにどれだけの耐荷力を

有するか、単純塑性理論により求めたものである。荷重は、設計用いた荷重群と同じ比で与えている。それぞれの部材は、ある荷重条件下では、クリティカルに決定されておりので、塑性解析は、どこか塑性屈筋の存在した状態から始めることになる。右表は、これらの計算結果を示したものである。余剰耐荷力は、線荷重の大きさで示している。タイプ A では、 1.404t (設計荷重の 1.8%) 以下 (1 を除く)、タイプ B では、 5.331t (同じく、 6.7%) 以下であり、設計荷重と比較して、ほとんど余剰耐荷力を持たない。

このように、本論文で扱った構造系 (特にタイプ A あるいはグループ数の多い場合) の下界定理による最適塑性設計の結果は、変形機構条件とほとんど満足していると思われる。

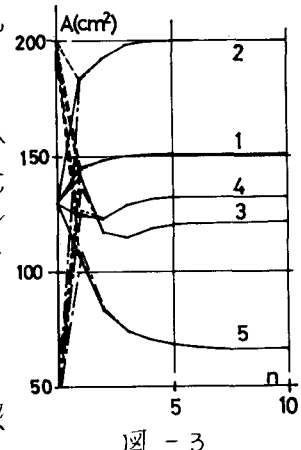


図-3

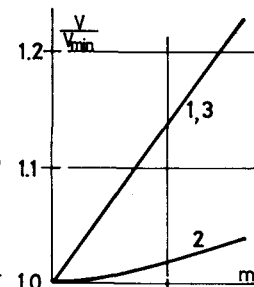


図-4.a

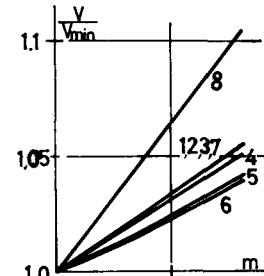


図-4.b

		タイプ グループ	総体積 (m^3)	余剰耐荷 力 (t)	前張機構
1	A	(1, 2, 3, 4, 5, 6, 7), (8, 9, 10, 11)	0.3773	17.367	
2	A	(1, 2, 3, 6, 7), (4, 5), (8, 9, 10, 11)	0.3634	1.279	
3	A	(1, 2, 3), (4, 5), (6, 7), (8, 9, 10, 11)	0.3277	1.404	
4	A	(1, 2, 3), (4, 5), (6), (7), (8, 9, 10, 11)	0.3230	1.300	
5	A	(1), (2), (3), (4), (5), (6), (7), (8), (9), (10), (11)	0.3110	1.229	
6	B	(1), (2, 3, 4), (5, 6), (7), (8, 9, 10)	0.3028	5.331	
7	B	(1), (2), (3), (4), (5), (6), (7), (8), (9), (10)	0.2960	0.407	

表